

بِسْمِ اللَّهِ الرَّحْمَنِ الرَّحِيمِ

وزارت علوم، تحقیقات و فناوری



دانشگاه دامغان
دانشکده شیمی

پایان نامه کارشناسی ارشد شیمی (معدنی)

تهیه، شناسایی و بررسی برهمکنش DNA با
کمپلکس‌های جدید پلاتین (II) و روی (II) شامل
لیگاندهای ۲،۲-دی متیل-۴،۴-بی پیریدین و ۴،۴-
دی فنیل-۱،۱-فنانترولین با استفاده از روش‌های
دستگاهی

توسط:

سمیه محمدی

استادان راهنما:

دکتر ناهید شاه آبادی

دکتر ربابه علیزاده

شهریور ماه ۱۳۹۰

به نام خدا

تهیه، شناسایی و بررسی برهم کنش DNA با کمپلکس‌های جدید
پلاتین (II) و روی (II) شامل لیگاندهای ۴،۴-دی متیل-۲،۲-بی
پیریدین و ۷،۴-دی فنیل-۱،۱-فنانترولین با استفاده از روش‌های
دستگاهی

به وسیله‌ی:
سمیه محمدی

پایان نامه
ارائه شده به تحصیلات تکمیلی دانشگاه به عنوان بخشی
از فعالیت‌های تحصیلی لازم برای اخذ درجه کارشناسی ارشد

در رشته‌ی:

شیمی (گرایش معدنی)

از دانشگاه علوم پایه دامغان

ارزیابی و تأیید شده توسط کمیته پایان نامه با درجه: (عالی)

دکتر ناهید شاه آبادی دانشیار شیمی معدنی دانشکده شیمی دانشگاه رازی (استاد راهنما)
دکتر ربابه علیرزاده استادیار شیمی معدنی دانشکده شیمی دانشگاه دامغان (استاد راهنما)
دکتر غلامحسین گریوانی استادیار شیمی معدنی دانشکده شیمی دانشگاه دامغان (استاد داور)
دکتر عظیم ملک زاده استادیار شیمی معدنی دانشکده شیمی دانشگاه دامغان (استاد داور)
دکتر داود عاجلو دانشیار شیمی فیزیک دانشکده شیمی دانشگاه دامغان (نماینده تحصیلات تکمیلی)

شهریور ماه ۱۳۹۰

تقدیم بہ

پدر و مادر م

و محترم

تقدیر و تشکر:

اکنون که به لطف خدای مهربان دورهای دیگر از تحصیلات خود را به پایان می‌برم سپاس بی‌پایان خود را تقدیم می‌-

دارم به:

پدر و مادر عزیزم که هرگز توان جبران محبت و عشق آنها نسبت به خود را ندارم.

همسر مهربانم که اقیانوس مهرش شیشه را بهم بود.

استاد خوبم، که پشت سر نهادن این دوره از تحصیل و زندگی خود را مدیون دانش و مهربانی آنها میدانم، سرکار

خانم دکتر ناهید شاه آبادی و سرکار خانم دکتر ربابه علنیراده

و از همه دوستان عزیزم که خاطرات خوشی را برای من رقم زدند.

چکیده

تهیه، شناسایی و بررسی برهمکنش DNA با کمپلکسهای جدید پلاتین (II) و روی (II) شامل لیگاندهای ۲،۲-دی متیل-۴،۴-بی پیریدین و ۷،۴-دی فنیل-۱۰،۱-فنانترولین با استفاده از روشهای دستگاهی

به وسیلهی:

سمیه محمدی

دو کمپلکس جدید پلاتین (II)، $[Pt(DIP)_2]Cl_2 \cdot H_2O$ و $[Pt(DMP)(DIP)]Cl_2 \cdot H_2O$ و کمپلکس جدید روی (II) $[Zn(DIP)_2(DMP)](NO_3)_2 \cdot 2H_2O$ (DMP = ۲،۲-دی متیل-۴،۴-بی پیریدین و DIP = ۷،۴-دی فنیل-۱۰،۱-فنانترولین) میباشند، سنتز و با استفاده از روشهای شیمی فیزیکی و اسپکتروسکوپی شناسایی شده و برهمکنش این کمپلکسها با DNA تیموس گاوی (CT) از طریق روشهای فلوریمتری، اسپکتروسکوپی، دورنگ - نمایی دورانی، ویسکوزیمتری و ولتامتری چرخهای (CV) مورد بررسی قرار گرفته است. کمپلکسها برهمکنش قابل توجهی با CT-DNA نشان دادند. ثابت اتصال پیوندی بیش از مقادیر محاسبه شده برای اینترکلیتیورها بود پس مد اینترکلیشن پیشنهاد میشود. اندازه گیری ویسکوزیته نشان داد که برهمکنش کمپلکسها با CT-DNA میتواند هیدروفوبیک باشد، پس نتیجه بهدست آمده را تایید میکند. بهعلاوه این کمپلکسها تغییرات قابل مشاهدهای در طیف CD، CT-DNA داشتند. مطالعات فلورسانس نشان داد که فلورسانس کاهش یافته برای کمپلکسهای پلاتین و افزایشی برای کمپلکس روی از نوع استاتیک است. پارامترهای ترمودینامیکی ($\Delta H > 0$ ، $\Delta S > 0$) نشان دهنده اینست که برهمکنش اصلی از طریق پیوندهای هیدروژنی انجام میگردد که مد اینترکلیشن است و هم چنین نتایج CV این مد را تایید میکند چون با افزایش غلظت CT-DNA پتانسیل به سمت مقادیر بالاتر میرود.

فهرست مطالب

عنوان	صفحه
فصل اول:	
مقدمه.....
..... ۱
۱-۱- شیمی دارویی.....	۲
۲-۱- خصوصیات مولکول داکسی ریبونوکلیک اسید.....	۳
۳-۱- سرطان چیست؟.....	۸
۴-۱- داروهای ضدسرطانی.....	۹
۱-۴-۱- داروهای ضدسرطانی با مرکز فلزی.....	۹
۲-۴-۱- داروهای ضدسرطانی با مرکز فلزی (شیمی معدنی دارویی).....	۱۱
۵-۱- خواص ضدسرطانی ترکیبات پلاتین.....	۱۳
۱-۵-۱- مطالعه ساختاری اتصال DNA به سیس پلاتین.....	۱۶
۲-۵-۱- مکانیسم عمل ضدسرطانی سیس پلاتین در محیط آبی.....	۱۶
۶-۱- انواع برهمکنش نوکلیک اسیدها با فلزات.....	۱۹
۱-۶-۱- برهمکنشهای کووالانسی.....	۱۹
۲-۶-۱- برهمکنشهای غیرکووالانسی.....	۲۰
۷-۱- روی و کاربردهای بیولوژیکی روی.....	۲۱
۸-۱- مطالعه برهمکنش کمپلکسهای فلزات واسطه با DNA.....	۲۲
۱-۸-۱- بافرها.....	۲۳
۲-۸-۱- دستگاهها.....	۲۴

فصل دوم: بخش تجربی

- ۳۵ ۱-۲- مواد شیمیایی و دستگاههای مورد استفاده..... ۳۶
- ۳۷ ۲-۲- سنتز کمپلکسهای پلاتین..... ۳۷
- ۳۷ ۱-۲-۲- سنتز کمپلکس $[Pt(DMP)(DIP)]Cl_2 \cdot H_2O$ ۳۷
- ۳۸ ۲-۲-۲- سنتز کمپلکس $[Pt(DIP)_2]Cl_2 \cdot H_2O$ ۳۸
- ۳۹ ۳-۲- سنتز کمپلکس $[Zn(DIP)_2(DMP)](NO_3) \cdot 2H_2O$ ۳۹
- ۳۹ ۴-۲- محلولهای لازم جهت مطالعه برهمکنش کمپلکسها با DNA..... ۳۹
- ۳۹ ۱-۴-۲- محلول بافر تریس..... ۳۹
- ۴۰ ۲-۴-۲- محلول CT-DNA..... ۴۰
- ۴۰ ۳-۴-۲- محلول کمپلکسها..... ۴۰
- ۴۱ ۵-۲- بررسی برهمکنش کمپلکسها ی با دستگاهی..... ۴۱
- ۴۱ ۱-۵-۲- اندازه گیری جذب الکترونی..... ۴۱
- ۴۱ ۲-۵-۲- اندازه گیری فلوروسانس..... ۴۱
- ۴۲ ۳-۵-۲- اندازه گیری ویسکوزیته..... ۴۲
- ۴۳ ۴-۵-۲- بررسی رفتار الکتروشیمیایی..... ۴۳
- ۴۳ ۵-۵-۲- اندازه گیری طیف CD با استفاده از دستگاه طیفسنجی دورنگنمایی دورانی..... ۴۳

فصل سوم: بحث و نتیجه -

- ۴۴ گیری..... ۴۴
- ۴۵ ۱-۳- سنتز و شناسایی کمپلکسهای پلاتین..... ۴۵
- ۴۵ ۱-۱-۳- سنتز و شناسایی $[Pt(DMP)(DIP)]Cl_2 \cdot H_2O$ ۴۵
- ۵۰ ۲-۱-۳- سنتز و شناسایی $[Pt(DIP)_2]Cl_2 \cdot H_2O$ ۵۰
- ۵۴ ۲-۳- سنتز و شناسایی $[Zn(DIP)_2(DMP)](NO_3) \cdot 2H_2O$ ۵۴
- ۵۸ ۳-۲- بررسی چگونگی برهمکنش کمپلکسهای تهیه شده با CT-DNA..... ۵۸
- ۵۸ ۱-۳-۳- نتایج طیف بینی UV-Vis..... ۵۸
- ۶۰ ۱-۱-۳-۳- نتایج اندازه گیری ثابت تشکیل..... ۶۰
- ۶۴ ۲-۳-۳- نتایج طیف بینی فلوروسانس..... ۶۴
- ۶۸ ۱-۲-۳-۳- ثابت پیوند و تعداد مکانهای اتصال..... ۶۸
- ۶۸ ۲-۲-۳-۳- تعیین و چگونگی اتصال کمپلکسها و CT-DNA..... ۶۸
- ۷۴ ۳-۳-۳- نتایج اندازه گیری ویسکوزیته..... ۷۴
- ۷۷ ۴-۳-۳- بررسی رفتار الکتروشیمیایی کمپلکسها در غیاب و حضور CT-DNA..... ۷۷
- ۸۰ ۵-۳-۳- نتایج مطالعات طیفسنجی دو رنگنمایی دورانی..... ۸۰

فهرست شکل

.....عنوان

.....صفحه

- شکل ۱-۱- ساختار نوکلئوتید آدنین..... ۳
- شکل ۱-۲- ساختار بازهای پورینی و پیریمیدینی..... ۴
- شکل ۱-۳- پیوند هیدروژنی بین جفت بازهای واتسون-کریک..... ۴
- شکل ۱-۴- اتصال فسفودی استرین ۵-هیدروکسیل قند در یک نوکلئوتید و هیدروکسیل در دیگری..... ۵
- شکل ۱-۵- تشکیل نوکلئوتیدها از طریق حذف دو مولکول آب..... ۵
- شکل ۱-۶- مدل واتسون-کریک ساختمان DNA و ابعاد مارپیچ..... ۷
- شکل ۱-۷- کانفورماسیونهای مختلف DNA..... ۸
- شکل ۱-۸- ساختار تعدادی از ترکیبات ضدسرطان آلی با کاربرد کلینیکی..... ۱۱
- شکل ۱-۹- ترکیبات ضدتومور..... ۱۲
- شکل ۱-۱۰- رفتار فیزیولوژیکی سیس پلاتین در داخل سلول..... ۱۸
- شکل ۱-۱۱- شکل فضایی داینوماسین اینترکلیت شده در بین زوج بازهای سیتوزین-گوانین از DNA..... ۲۱
- شکل ۱-۱۲- دو بافر رایج..... ۲۴
- شکل ۱-۱۳- جریان لامینار..... ۲۷
- شکل ۱-۱۴- منحنی η_{sp}/C در مقابل C برای دو مولکول DNA متفاوت..... ۲۸
- شکل ۱-۱۵- ویسکومتر موئینه نوع اوسوالد..... ۲۹
- شکل ۱-۱۶- الف- انتشار موج الکترومغناطیسی..... ۳۱
- شکل ۱-۱۷- تولید نور قطبیده دایره‌ای..... ۳۲
- شکل ۳-۱- طیف جذب الکترونی کمپلکس $[Pt(DMP)(DIP)]Cl_2.H_2O$ ۴۷
- شکل ۳-۲- طیف جذب الکترونی کمپلکس $[Pt(DMP)Cl_2]$ ۴۷
- شکل ۳-۳- طیف IR کمپلکس $[Pt(DMP)(DIP)]Cl_2.H_2O$ ۴۸
- شکل ۳-۴- طیف IR لیگاند DMP..... ۴۸
- شکل ۳-۵- طیف IR لیگاند DIP..... ۴۸
- شکل ۳-۶- طیف 1HNMR کمپلکس $[Pt(DMP)(DIP)]Cl_2.H_2O$ در حلال DMSO..... ۴۹
- شکل ۳-۷- طیف 1HNMR کمپلکس حدواسط $[Pt(DMP)Cl_2]$ در حلال DMSO..... ۴۹
- شکل ۳-۸- طیف 1HNMR لیگاند DMP در حلال کلروفرم..... ۴۹
- شکل ۳-۹- طیف 1HNMR لیگاند DIP در حلال کلروفرم..... ۵۰

- شکل ۳-۱۰- طیف جذب الکترونی کمپلکس $[Pt(DIP)_2]Cl_2 \cdot H_2O$ ۵۲
- شکل ۳-۱۱- طیف جذب الکترونی کمپلکس حدواسط $[Pt(DIP)Cl_2]$ (A) ۵۲
- شکل ۳-۱۲- طیف IR کمپلکس $[Pt(DIP)_2]Cl_2 \cdot H_2O$ ۵۳
- شکل ۳-۱۳- طیف 1HNMR کمپلکس $[Pt(DIP)_2]Cl_2 \cdot H_2O$ در حلال DMSO ۵۳
- شکل ۳-۱۴- طیف 1HNMR کمپلکس $[Pt(DIP)Cl_2]$ (B) در حلال DMSO ۵۳
- شکل ۳-۱۵- طیف جذب الکترونی کمپلکس $[Zn(DIP)_2(DMP)](NO_3)_2 \cdot 2H_2O$ ۵۶
- شکل ۳-۱۶- طیف جذب الکترونی کمپلکس حدواسط $[Zn(DIP)_2(NO_3)_2]$ (C) ۵۶
- شکل ۳-۱۷- طیف IR کمپلکس $[Zn(DIP)_2(DMP)](NO_3)_2 \cdot 2H_2O$ ۵۷
- شکل ۳-۱۸- طیف 1HNMR کمپلکس $[Zn(DIP)_2(DMP)](NO_3)_2 \cdot 2H_2O$ در حلال کلروفرم ۵۷
- شکل ۳-۱۹- طیف 1HNMR کمپلکس حدواسط $[Zn(DIP)_2(NO_3)_2]$ (C) در حلال کلروفرم ۵۷
- شکل ۳-۲۰- طیف UV-Vis محلول 10^{-3} مولار کمپلکس $[Pt(DMP)(DIP)]Cl_2 \cdot H_2O$ ضمن افزایش DNA (در محلول ۱۰ میلیمولار بافر تریس $pH = 7/2$) ۶۱
- شکل ۳-۲۱- طیف UV-Vis محلول 10^{-3} مولار کمپلکس $[Pt(DIP)_2]Cl_2 \cdot H_2O$ ضمن افزایش DNA (در محلول ۱۰ میلیمولار بافر تریس $pH = 7/2$) ۶۱
- شکل ۳-۲۲- طیف UV-Vis محلول 10^{-3} مولار کمپلکس $[Zn(DIP)_2(DMP)](NO_3)_2 \cdot 2H_2O$ ضمن افزایش DNA (در محلول ۱۰ میلیمولار بافر تریس $pH = 7/2$) ۶۲
- شکل ۳-۲۳- نمودار $(\epsilon_a - \epsilon_f) / [CT-DNA]$ در برابر $[DNA]$ ضمن تیتراسیون با کمپلکس $[Pt(DMP)(DIP)]Cl_2 \cdot H_2O$ ۶۳
- شکل ۳-۲۴- نمودار $(\epsilon_a - \epsilon_f) / [CT-DNA]$ در برابر $[DNA]$ ضمن تیتراسیون با کمپلکس $[Pt(DIP)_2]Cl_2 \cdot H_2O$ ۶۳
- شکل ۳-۲۵- نمودار $(\epsilon_a - \epsilon_f) / [CT-DNA]$ در برابر $[DNA]$ ضمن تیتراسیون با کمپلکس $[Zn(DIP)_2(DMP)](NO_3)_2 \cdot 2H_2O$ ۶۴
- شکل ۳-۲۶- اثر CT-DNA بر طیف فلئورسانس کمپلکس $[Pt(DMP)(DIP)]Cl_2 \cdot H_2O$ (با غلظت 2×10^{-6} مولار در بافر تریس ۱۰ میلی مولار) ۶۵
- شکل ۳-۲۷- اثر CT-DNA بر طیف فلئورسانس کمپلکس $[Pt(DIP)_2]Cl_2 \cdot H_2O$ (با غلظت 2×10^{-6} مولار در بافر تریس ۱۰ میلی مولار) ۶۵
- شکل ۳-۲۸- منحنی استرن-ولمر برای فلئورسانس کاهشی ضمن افزایش CT-DNA به کمپلکس $[Pt(DMP)(DIP)]Cl_2 \cdot H_2O$ ۶۶
- شکل ۳-۲۹- منحنی استرن-ولمر برای فلئورسانس کاهشی ضمن افزایش CT-DNA به کمپلکس $[Pt(DIP)_2]Cl_2 \cdot H_2O$ ۶۶
- شکل ۳-۳۰- نمودار $\ln k$ در برابر $1/T$ مربوط به کمپلکس $[Pt(DMP)(DIP)]Cl_2 \cdot H_2O$ ۷۰
- شکل ۳-۳۱- نمودار $\ln k$ در برابر $1/T$ مربوط به کمپلکس $[Pt(DIP)_2]Cl_2 \cdot H_2O$ ۷۰

- شکل ۳-۳۲- اثر CT-DNA بر طیف فلورسانس $[Zn(DIP)_2(DMP)](NO_3)_2 \cdot 2H_2O$ (با غلظت 1×10^{-6} مولار در بافر تریس ۱۰ میلی مولار) ۷۲
- شکل ۳-۳۳- منحنی استرن-ولمر برای فلورسانس افزایشی کمپلکس روی ضمن افزایش CT-DNA ۷۲
- شکل ۳-۳۴- نمودار وانت هوف مربوط به کمپلکس روی-CT-DNA ۷۴
- شکل ۳-۳۵- اثر افزایش غلظت کمپلکس $[Pt(DMP)(DIP)]Cl_2 \cdot H_2O$ بر روی ویسکوزیته با غلظت CT-DNA 5×10^{-5} مولار (در بافر تریس ۱۰ میلی مولار) ۷۶
- شکل ۳-۳۶- اثر افزایش غلظت کمپلکس $[Pt(DIP)_2]Cl_2 \cdot H_2O$ بر روی ویسکوزیته با غلظت CT-DNA 5×10^{-5} مولار (در بافر تریس ۱۰ میلی مولار) ۷۶
- شکل ۳-۳۷- اثر افزایش غلظت کمپلکس $[Zn(DIP)_2(DMP)](NO_3)_2 \cdot 2H_2O$ بر روی ویسکوزیته CT-DNA با غلظت 5×10^{-5} مولار (در بافر تریس ۱۰ میلی مولار) ۷۷
- شکل ۳-۳۸- ولتاموگرام چرخهای کمپلکس $[Pt(DMP)(DIP)]Cl_2 \cdot H_2O$ با غلظت ثابت $5/00 \times 10^{-5}$ مولار (در بافر تریس ۱۰ میلی مولار) ۷۹
- شکل ۳-۳۹- ولتاموگرام چرخهای کمپلکس $[Pt(DIP)_2]Cl_2 \cdot H_2O$ با غلظت ثابت $5/00 \times 10^{-5}$ مولار (در بافر تریس ۱۰ میلی مولار) ۷۹
- شکل ۳-۴۰- ولتاموگرام چرخهای کمپلکس $[Zn(DIP)_2(DMP)](NO_3)_2 \cdot 2H_2O$ با غلظت ثابت $5/00 \times 10^{-5}$ مولار (در بافر تریس ۱۰ میلی مولار) ۸۰
- شکل ۳-۴۱- طیف CT-DNA مولکول B-CT-DNA ۸۱
- شکل ۳-۴۲- طیف CD مولکول DNA ($5/00 \times 10^{-5}$ M) ضمن افزایش کمپلکس $Pt(DMP)(DIP)]Cl_2 \cdot H_2O$ (در بافر تریس ۱۰ میلی مولار) ۸۲
- شکل ۳-۴۳- طیف CD مولکول DNA ($5/00 \times 10^{-5}$ M) ضمن افزایش کمپلکس $[Pt(DIP)_2]Cl_2 \cdot H_2O$ (در بافر تریس ۱۰ میلی مولار) ۸۳
- شکل ۳-۴۴- طیف CD مولکول DNA ($5/00 \times 10^{-5}$ M) ضمن افزایش کمپلکس $[Zn(DIP)_2(DMP)](NO_3)_2 \cdot 2H_2O$ (در بافر تریس ۱۰ میلی مولار) ۸۳

فهرست جدول

عنوان و شماره	صفحه
جدول ۱-۱ برخی ترکیبات دارای خواص درمانی ۱۳	
جدول ۱-۳ شیفتهای شیمیایی کمپلکس $[Pt(DMP)(DIP)]Cl_2 \cdot H_2O$ ، (A)، لیگاندهای DMP و DIP ۴۶	
جدول ۲-۳ اطلاعات آنالیز عنصری کمپلکس $[Pt(DMP)(DIP)]Cl_2 \cdot H_2O$ ۴۷	

- جدول ۳-۳ شیفتهای شیمیایی کمپلکس $[Pt(DIP)_2Cl_2.H_2O]$ ، $[Pt(DIP)Cl_2]$ (B) و لیگاند DIP ۵۱
- جدول ۴-۳ اطلاعات آنالیز عنصری کمپلکس $[Pt(DIP)_2Cl_2.H_2O]$ ۵۲
- جدول ۵-۳ شیفتهای شیمیایی کمپلکس $[Zn(DIP)_2(DMP)(NO_3)_2]$ ، $[Zn(DIP)_2(DMP)](NO_3)_2.2H_2O$ (C) و لیگاندهای DIP و DMP ۵۵
- جدول ۶-۳ اطلاعات آنالیز عنصری کمپلکس $[Zn(DIP)_2(DMP)](NO_3)_2.2H_2O$ ۵۶
- جدول ۷-۳ K_b برای برخی اینترکلیتورهای فلزی ۶۴
- جدول ۸-۳ ثابتهای خاموشی کمپلکس $[Pt(DMP)(DIP)]Cl_2.H_2O$ ۶۷
- جدول ۹-۳ ثابتهای خاموشی کمپلکس $[Pt(DIP)_2]Cl_2.H_2O$ ۶۷
- جدول ۱۰-۳ ثابتهای پیوند K_f و تعداد مکانهای اتصال n کمپلکس $[Pt(DMP)(DIP)]Cl_2.H_2O$ ۶۸
- جدول ۱۱-۳ ثابتهای پیوند K_f و تعداد مکانهای اتصال n کمپلکس $[Pt(DIP)_2]Cl_2.H_2O$ ۶۸
- جدول ۱۲-۳ پارامترهای ترمودینامیکی مربوط به برهمکنش کمپلکس $[Pt(DMP)(DIP)]Cl_2.H_2O$ با DNA ۶۹
- جدول ۱۳-۳ پارامترهای ترمودینامیکی مربوط به برهمکنش کمپلکس $[Pt(DIP)_2]Cl_2.H_2O$ با DNA ۶۹
- جدول ۱۴-۳ ثابت افزایش دینامیکی (K_D) و دو مولکولی (K_B) کمپلکس روی در دماهای مختلف ۷۲

فصل اول

مقدمه

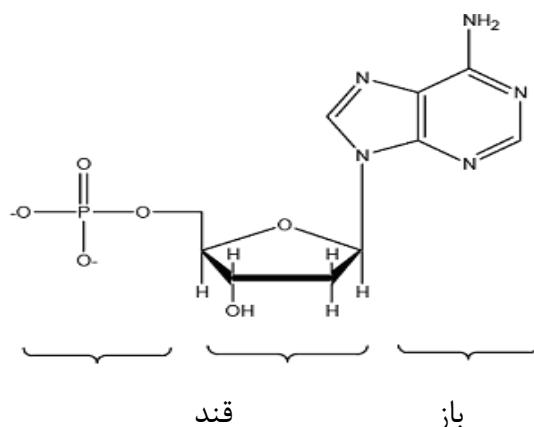
۱-۱- شیمی دارویی

سازمان بهداشت جهانی دارو را به عنوان هر ماده‌ای که در فرایندهای دارویی به کار رفته و سبب کشف یا اصلاح فرایندهای فیزیولوژیکی یا حالات بیماری در جهت بهبود مصرفکننده شود، تعریف نموده است. شیمی دارویی و کاربرد دارویی فلزات به ۵۰۰۰ سال پیش برمیگردد اما به دلیل کم بودن اطلاعات شیمییدانهای دارویی پیشرفت چشمگیری در این زمینه دیده نشد. شیمی دارویی شاخه‌های دیگر از علم شیمی است که درباره کشف، تکوین، شناسایی و تعیین روش اثر ترکیبات فعال زیستن در سطح مولکولی بحث میکند و تاکید اصلی آن بر داروها است.

اما توجه یک شیمییدان دارویی تنها منحصر به دارو نبوده و معمولاً متوجه کلیه ترکیباتی است که فعالیت زیستی دارند. شیمی دارویی علاوه بر این شامل جداسازی، تشخیص و سنتز ترکیباتی است که میتوانند در علوم پزشکی برای پیشگیری و بهبود درمان بیماریها به کار روند. شیمییدانها با استفاده از فلزات واسطه در گسترش و ایجاد داروهای جدید پیشگام شدند [۱]. اگر روش کشف دارو نظیر زمانهای قدیم ادامه پیدا میکرد، امروزه بیماریهای کمی قابل درمان بودند. محصولات طبیعی درصد کمی از داروها را در بازار دارویی جدید تشکیل میدهند. برای مثال وقتی مشخص شود که محصولی طبیعی از نظر دارویی فعال است، برای بهبود ویژگیهای آن تغییر شیمیایی داده میشود. در نتیجه، پیشرفتهای قابل توجهی در روشهای سنتز و جداسازی و تکنیکهای بیوشیمیایی داده میشود. از اواخر قرن نوزدهم روشهای بهتری برای کشف دارو ممکن گشته است که اکثراً بر اساس طراحی استوار میباشد. اخیراً با درک عملکرد فلز-پروتئین و بعضی مدلهای جالب از مکانهای فعال اتصال یون فلز پیشرفت های فوق العاده‌ای در مورد درک چگونگی انتقال یونهای فلزی به این مکانهای فعال و تشخیص نقش یونهای فلزی در درمان بیماریها انجام شده است [۲].

۲-۱- خصوصیات مولکول داکسی ریبونوکلیک اسید^۱

- داکسی ریبونوکلیک اسید (DNA) مولکولی پیچیده است که در سیستمهای زنده یافت می شود، حامل وراثت و شامل همه اطلاعات ژنتیکی لازم برای تأمین رشد نرمال و عمل ارگانیسم-ها می باشد. DNA از چهار نوکلئوتید مختلف ساخته شده و هر نوکلئوتید شامل یک باز نیتروژنی (آدنین، گوانین، سیتوزین، تیمین) و یک قند (داکسی ریبوز) و یک گروه فسفات می-باشد (شکل ۱-۱).



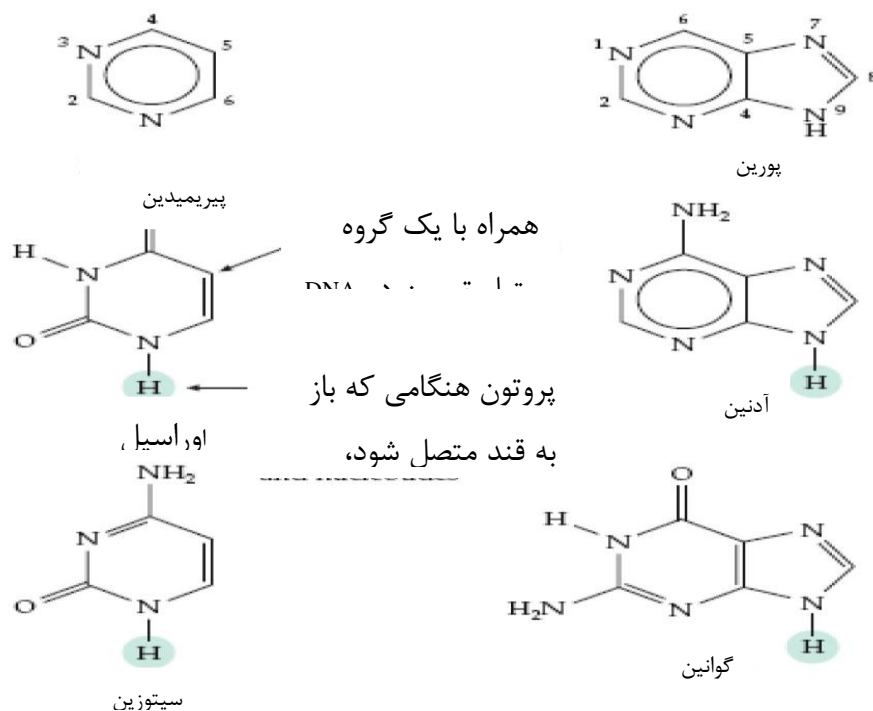
شکل ۱-۱- ساختار نوکلئوتید آدنین

اطلاعات ژنتیکی روی یک توالی خطی معین از نوکلئوتیدها کد میشوند . خطا در توالی بازها میتواند منتهی به جهش در DNA شود و جهش باعث خطا در رونویسی و ترجمه و در نهایت منتهی به بیماری میشود. بازهای نیتروژنی به دو صورت وجود دارند: پورینی^۲ و پیریمیدینی^۳.

آدنین و گوانین ، پورینی و تیمین و سیتوزین ، پیریمیدینی هستند . ساختارهای این بازها در شکل ۲-۱ نشان داده شده است.

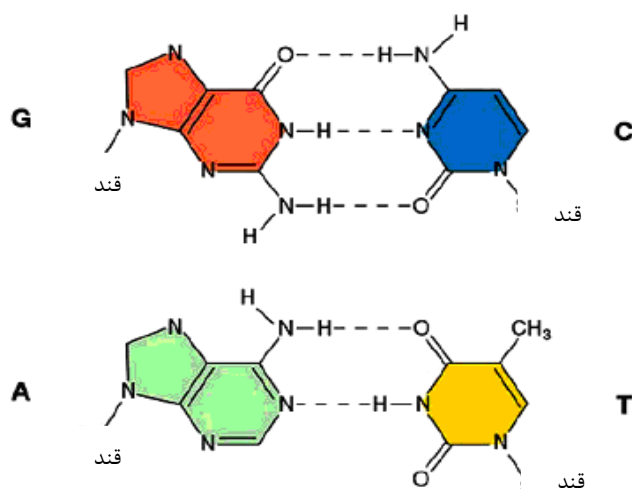
¹ Deoxy Ribo Nucleioc Acid (DNA)

² Purin



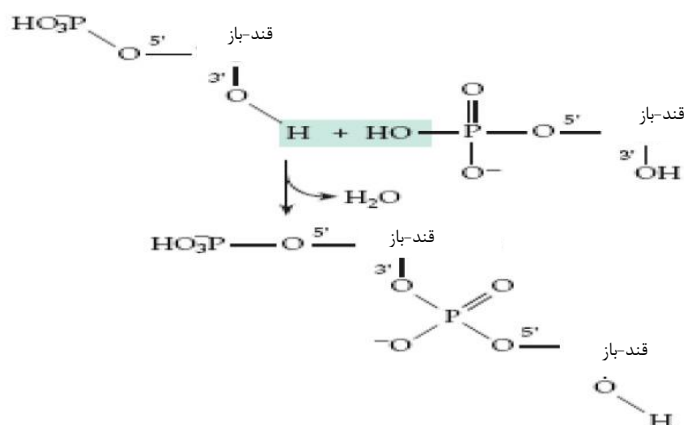
شکل ۱-۲- ساختار بازهای پورینی و پیریمیدینی

زوج بازهای آدنین با تیمین و گوانین با سیتوزین پیوند هیدروژنی تشکیل می‌دهند. بین آدنین و تیمین، دو پیوند هیدروژنی و بین گوانین و سیتوزین، سه پیوند هیدروژنی وجود دارد که در شکل ۱-۳ نشان داده شده است.

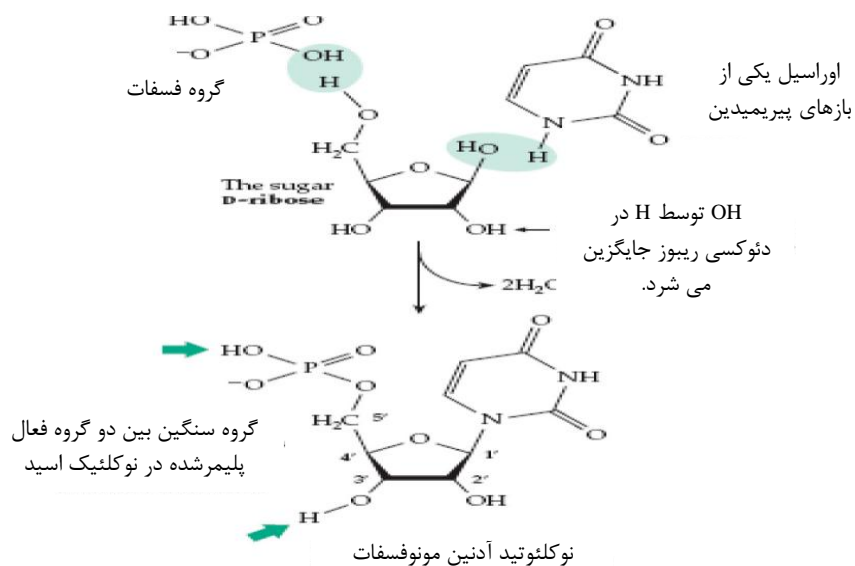


شکل ۱-۳- پیوند هیدروژنی بین زوج بازهای واتسون-کریک

در نوکلئیک اسیدها، نوکلئوتیدها از طریق اتصالات فسفودیاستر بین هیدروکسیل شماره ۵ از قند یک نوکلئوتید و هیدروکسیل شماره ۳ از نوکلئوتید دیگر به هم متصل میشوند (شکل ۴-۱). این اتصالات از طریق حذف یک مولکول آب تشکیل میشوند. تشکیل نوکلئوتیدها از طریق حذف دو مولکول آب در شکل ۵-۱ نشان داده شده است.



شکل ۴-۱- اتصال فسفودی استر بین گروه ۵-هیدروکسیل قند در یک نوکلئوتید و هیدروکسیل در دیگری



شکل ۵-۱- تشکیل نوکلئوتیدها از طریق حذف دو مولکول آب

ساختمان مارپیچ دو رشته‌ای DNA توسط فرانسیس کریک^۳ و جیمز واتسون^۴ در سال ۱۹۵۳ تعیین شد. این مدل از دو زنجیر مارپیچی تشکیل شده بود که حول یک محور چرخیده و ایجاد یک مارپیچ دوتایی راستگردان میک^۵ زد. اسکلت‌های آبدوست تشکیل شده از گروه‌های یک در میان داکسی ریبوز و فسفات در سمت خارج این مارپیچ دوتایی قرار داشته و در تماس با محیط آبی اطراف میباشند. بازهای پورینی و پیریمیدینی هر دو رشته نیز به شکلی داخل مارپیچ دوتایی روی هم متراکم شده‌اند که ساختمانهای تقریباً مسطح آگریز آنها در فاصله بسیار نزدیکی از یکدیگر و عمود بر محور طولی قرار گرفته‌اند. در سطح این مارپیچ و به واسطه زوج شدن و زاویه‌دار شدن دو رشته، یک دهانه اصلی بزرگ^۵ و یک دهانه فرعی کوچک^۶ ایجاد میگردد (شکل ۱-۶) و هر باز نوکلئوتیدی یک رشته در همان صفحه با باز رشته مقابل زوج میگردد. برای نمایش دوره‌های تناوبی موجود الگوهای پراش پرتو ایکس واتسون و کریک مدل‌های م و لکولی را تغییر داده تا به ساختمانی رسیدند که در آن بازهای متراکم به طور عمودی در داخل مارپیچ و با فاصله ۰/۳۴ نانومتر از یکدیگر قرار داشتند. دومین تکرار با فاصله ۳/۴ نانومتر نیز به خاطر وجود ۱۰ باز در هر چرخش کامل مارپیچ دوتایی در نظر گرفته شد. در محلول آبی این ساختمان موجود در فیبرها متفاوت بوده و دارای ۱۰/۵ زوج باز در هر چرخش مارپیچ میباشد. در ساختار DNA دو زنجیر پلی نوکلئوتیدی موازی ناهمسو از نظر توالی بازی یا ترکیب مشابه نمیباشند بلکه این زنجیرها مکمل یکدیگر هستند. در هر محلی که آدنین وجود دارد تیمین در مقابل آن بر روی زنجیر دیگر مارپیچ قرار گرفته و به طور مشابه در مقابل گوانینهای دیگر موجود در یک زنجیر، در زنجیر دیگر سیتوزین دیده میشود. مارپیچ دوتایی توسط دو نیرو شامل پیوندهای هیدروژنی موجود در زوج بازهای مکمل و واکنش‌های

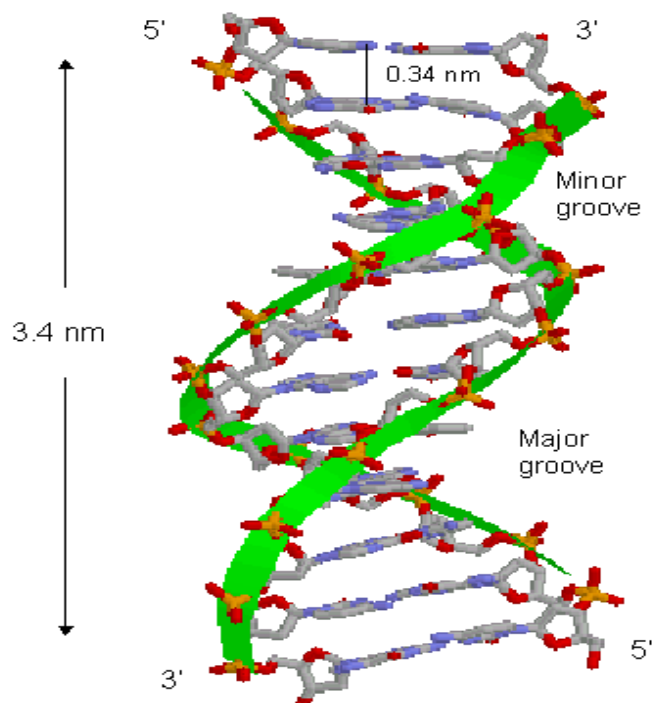
³ Francis Crick

⁴ James Watson

⁵ Major Groove

⁶ Minor Groove

متراکم بازی در کنار یکدیگر قرار میگیرند. مکمل بودن رشته‌های DNA به علت ایجاد پیوند- های هیدروژنی بین زوج بازها میباشد که بیشترین نقش را در مارپیچ دوتایی دارد [۳].



شکل ۱-۶- مدل واتسون-کریک ساختمان DNA و ابعاد مارپیچ

مدل ساختمانی واتسون و کریک DNA را ساختمان B (B-DNA) مینامند و تحت شرایط فیزیولوژیک شکل B پایدارترین ساختمان برای یک مولکول DNA با توالی اتفاقی بوده و بنابراین در مطالعه ویژگیهای DNA به عنوان مرجع مقایسه مورد استفاده قرار میگیرد. شکلهای A و Z ساختمانهای دیگر DNA هستند که ساختمان بلوری آنها به خوبی تعیین شده است. این سه کانفورماسیون DNA در شکل ۱-۷ نشان داده شده است. در بسیاری از محلولهایی که غاری از آب هستند، شکل A ترجیح داده میشود. این شکل DNA به شکل مارپیچ دوتایی راستگردان بوده ولی مارپیچ آن پهنتر است و نسبت به ساختمان B-DNA، که دارای ۱۰/۵ زوج باز موجود در هر چرخش مارپیچ است، ۱۱ زوج باز وجود دارد. صفحه زوجهای بازی در A-DNA حدود ۲۰ درجه نسبت به محور مارپیچ کج شده است. این تغییرات